

印度血桐与中平树基因组调查及 SSR 分子标记分析

李江莹^{1,3}, 陆添权¹, 杨俊波², 田波^{1*}

(1. 中国科学院西双版纳热带植物园 热带植物资源可持续利用重点实验室, 昆明 650223; 2. 中国科学院昆明植物研究所 中国西南野生生物种质资源库; 昆明 650204; 3. 中国科学院大学, 北京 101408)

摘要: 印度血桐与中平树是大戟科血桐属植物, 该属植物具有多种药用价值, 被广泛应用于民间医学中许多疾病的治疗, 这两种植物种子中含有的神经酸也引起了研究者的高度关注。为确定适合印度血桐与中平树的全基因组测序研究策略。本实验采用二代高通量测序技术, 结合生物信息学的方法首次测定了印度血桐与中平树的基因组大小、杂合率、重复率等基因组信息; 初步分析了两种材料的 SSR 序列特征。结果表明: (1)印度血桐与中平树的基因组大小分别为 986.84 和 946.23 M; (2)印度血桐与中平树的杂合率分别为 0.75% 和 0.65%, 重复序列比例分别为 73.02% 和 71.5%; (3)通过对 2 种材料基因组序列的 SSR 特征分析, 在印度血桐中共鉴定了 4 499 185 个 SSR, 在中平树中共鉴定了 4 969 098 个 SSR。该研究结果为印度血桐与中平树 SSR 分子标记的筛选、开发以及全基因组深度测序提供了理论指导。

关键词: 印度血桐, 中平树, 神经酸, 基因组调查, SSR

中图分类号: Q943

文献标识码: A

Genome survey and analysis of SSR molecular markers on

Macaranga indica and *M. denticulata*

LI Jiangying^{1,3}, LU Tianquan¹, YANG Junbo², TIAN bo^{1*}

(1. Key Laboratory of Tropical Plant Resource and Sustainable Use, Xishuangbanna Tropical Botanical Garden, Chinese Academy of Sciences, Kunming 650223, China; 2. The Germplasm Bank of Wild Species, Kunming Institute of Botany, Chinese Academy of Sciences, Kunming 650204, China; 3. University of Chinese Academy of Sciences, Beijing 101408, China)

Abstract : *Macaranga indica* and *M. denticulata* belongs to the genus *Macaranga* Thou.(Euphorbiaceae family). Plants of this genus are widely used in the treatment of many diseases in Chinese folk medicine. The nervonic acid contained in the seeds of these two plants has also attracted great attention of researchers. In order to determine the strategy of the whole genome of *M. indica* and *M. denticulata*. In the present study, we first determined the genome sizes, heterozygosity, GC content, and repeatability of *M. indica* and *M. denticulata* through the next generation sequencing technology and bioinformatics methods. The SSR sequence characteristics of *M. indica* and *M. denticulata* were analyzed. The results showed that: (1)The genome size of *M. indica* and *M. denticulata* were 986.84 and 946.23 M, respectively; (2)The

基金项目: 国家自然科学基金(31671732); 中国科学院大科学工程项目(2017-LSF-GBOWS-02) [Supported by the National Natural Science Foundation of China(31671732); Major Science and Engineering Project of the Chinese Academy of Sciences(2017-LSF-GBOWS-02)].

作者简介: 李江莹 (1994-), 女 (彝族), 云南临沧人, 硕士研究生, 主要从事药用植物研究, (E-mail) lijiaingying@xtbg.ac.cn。

通信作者: 田波, 博士, 副研究员, 主要从事资源植物种质资源评价与分子育种研究, (E-mail) tianbo@xtbg.ac.cn。

heterozygosity rates and the repeat rates were calculated to be 0.75% and 73.02% respectively in *M. indica*, and 0.65% and 71.5% in *M. denticulata*; (3) In addition, 4 499 185 and 4 969 098 genomic simple sequence repeat (SSR) markers in *M. indica* and *M. denticulata* were generated respectively. The results provide theoretical guidance for deep whole-genome sequencing of the two species and the screening and development of SSR molecular markers of *M. indica* and *M. denticulata*.

Keywords: *Macaranga indica*, *Macaranga denticulata*, nervonic acid, genome survey, simple sequence repeat (SSR)

印度血桐(*Macaranga indica*)与中平树(*M. denticulata*)属于大戟科铁苋菜族血桐属植物,二者均为叶盾状着生的高大乔木,广泛分布于我国西南地区的山谷、次生林或常绿阔叶林中。《中华本草》中记录了中平树的主要药用部位根与树皮具有退黄、清热利湿等功效,可用于治疗胃脘疼痛、黄疸型肝炎(黄建猷等, 2015)。已有相关研究报道了从印度血桐中分离出了鞣花酸、异戊烯化黄酮等多种化合物,这些化合物具有如抗氧化作用、抗炎作用等多种生物活性,可发展为一种新的工业萃取源(Yang et al., 2015)。通过对印度血桐与中平树种子中所含脂肪酸的成分测定,我们发现印度血桐和中平树的种子脂肪酸组成成分中,都含有超长链单不饱和脂肪酸—神经酸,这一实验结果验证了王性炎等(2006)在多种植物样品中发现盾叶木[注:新版《中国植物志》已修订盾叶木(*Macaranga adenantha*)与印度血桐(*Macaranga indica*)为同一个种]是自然界已发现的植物中,种子油脂中神经酸含量较高的木本植物,是在目前发现的物种中较为理想的开发神经酸产品的植物资源。神经酸是大脑纤维和神经细胞的核心天然成分,与脑部神经的生物合成密切相关。神经酸具有多种重要的生物学功能,如促进大脑发育,改善记忆,延缓大脑衰老(Li et al., 2019),摄入神经酸能预防和治疗老年痴呆症、脑中风后遗症、脑萎缩、脑瘫、健忘失眠及记忆力减退等脑神经系统疾病(田德雨等, 2015)。基于以上各点,神经酸的开发与应用引起了国内外专家的高度关注,为了满足人们对神经酸的需求,利用富含神经酸的植物开发神经酸产品已成为获取神经酸的主要途径。

目前,对印度血桐与中平树的研究主要集中在常见药用部位化学成分的药理活性及种子脂肪酸成分方面,而关于印度血桐与中平树基因组信息的研究未见报道,这给高效利用印度血桐与中平树野生资源选育植物新品种带来了极大的不便,由于印度血桐与中平树为木本植物,基因组大小尚不明确,各种因素使得血桐属植物的分子生物学研究进展缓慢。因此,在对两种材料进行全基因组深度测序之前,首先需要对两种材料进行低覆盖度的基因组调查,以了解材料基因组的组成特征和模式(Li et al., 2019)。深入分析 DNA 中的遗传信息是一项浩大的工程,而这项工程的首要任务就是突破技术上的重难点(Albach et al., 2007)。植物全基因组的研究进程的迅速发展得益于新一代测序技术日益进步(施季森等, 2012)。随着测序技术的逐渐成熟及测序价格的降低,基因组测序已被广泛应用到各种具有科研价值、经济价值、观赏价值的物种中。对于物种的基因组测序,可以帮助我们了解各种生物体中生命现象的调控机制以及物种的群体进化、生长发育等生物学问题。目前,可对物种进行基因组大小测定的方法有流式细胞术、Feulgen 分光光度法、脉冲场凝胶电泳法以及在技术不断进步革新的条件下快速发展的高通量测序技术(伍艳芳等, 2014)。在大戟科植物中,麻风树、蓖麻、木薯、橡胶树等(Chan et al., 2010; Shusei et al., 2011; Simon et al., 2012; Zou & Yang, 2019)植物的基因组信息已有报道,这些已测物种的基因组可为我们研究大戟科血桐属植物的基因组信息提供参考。

本研究采用 Illumina 二代高通量测序技术,首次对印度血桐与中平树进行了基因组调查,并利用生物信息学方法估计了两种材料的重复率、杂合率及基于基因组调研的 SSR (simple sequence repeat)特征分析,旨在为印度血桐与中平树的全基因组的测序和组装方案的制定和该属植物的进一步研究和开发利用提供依据;为血桐属植物的遗传改良提供支持;同

时, SSR 分子标记对于两种材料的种质资源保护和遗传多样性等方面提供一定参考。

1 材料与方法

1.1 材料

本实验采用的实验材料, 印度血桐与中平树均为正常开花结果的野生植株, 于 2019 年 7 月份采自西双版纳傣族自治州景洪市勐龙镇勐宋村公路边, 带回实验室, 液氮速冻后放置于 -80°C 超低温冰箱保存, 备用。

1.2 样品基因组 DNA 的提取、检测与测序

采用 CTAB 法提取印度血桐与中平树叶片基因组 DNA, 紫外分光光度计检测样品浓度, 琼脂糖凝胶电泳检测完整性; 将提取的 DNA 样品送至公司进行建库测序, 参考其它木本植物的基因组大小及大戟科植物的 C 值范围, 选取 1 Gb 左右的基因组大小来评估印度血桐与中平树的基因组测序覆盖度。

1.3 建库信息及数据量统计

印度血桐与中平树基因组采用二代测序技术, 利用 WGS (全基因组鸟枪法), 分别构建插入片段为 350 和 500 bp 的 DNA 文库, 再用 Illumina HiseqTM2000 平台进行双末端(Pair-End) 测序, 最终得到原始测序数据(raw reads), 取全部原始数据对测序结果进行图像识别, 去污染, 去接头; 统计结果包括测序 read 数量、数据产量、测序错误率、Q20 含量、Q30 含量、GC 含量等。

1.4 基因组大小预测和杂合度估计

本实验通过测序得到的序列, 基于 K-mer 的分析方法估计印度血桐和中平树的基因组大小及杂合率, 取 $K=17$ 进行分析。K-mer 分布图用来判断基因组的重复序列多少, 如果材料的基因组重复比例较高, K-mer 分布图右侧将会出现拖尾现象。mer 深度分布服从泊松分布, 根据曲线获得 K-mer 深度期望值, 用于估计基因组大小(周媛等, 2019)。另外, 在 K-mer 的分布曲线中, 一般会出现一个覆盖度最高的主峰, 当在主峰两侧出现另一个小峰时, 则说明该材料的基因组有较高的杂合度, 反之, 则没有。

1.5 样品污染判断

样品的污染问题在基因组研究中有非常重要的地位, 它能够保证实验样品基因组序列的完整性, 数据真实有效, 结果可靠, 反之, 如果数据被污染, 则无法获得相关信息。对过滤后的高质量数据随机抽取 10 000 条 Reads(read1 和 read2 各 5 000 条)数据, 通过 Blast 软件比对 NCBI 核苷酸数据库(NT 库), 如果比对结果是同源比对, 则认为样本不存在外源污染, 如果比对结果出现亲缘关系较远的物种, 说明样品可能存在污染(闫婧, 2018)。

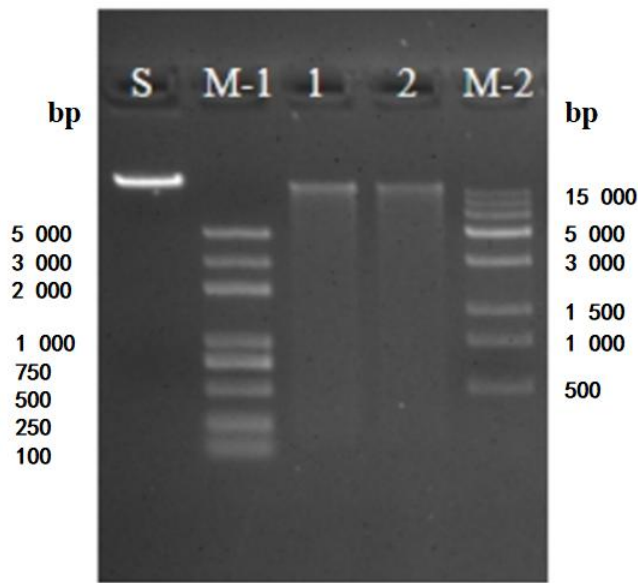
1.6 SSR 分析

采用微卫星识别工具 (microsatellite identification tool, MISA) (<http://pgrc.lpk-gatersleben.de/misa/>)在所有序列中搜索 SSR 位点, 搜索参数如下: mono-10、di-6、tri-5、Tetra-5、penta-5、hexa-6。其中, 复合序列中两个不同 SSR 之间允许的最大间隔设置为 100 bp (张璟璇等, 2019)。

2 结果与分析

2.1 材料的 DNA 提取

采用 CTAB 法提取印度血桐与中平树幼嫩叶片的基因组 DNA。电泳图显示提取的两种材料基因组 DNA 质量良好(图 1), 其中, 印度血桐的 DNA 浓度为 $15.42 \text{ ng} \cdot \mu\text{L}^{-1}$, 中平树的 DNA 浓度为 $10.46 \text{ ng} \cdot \mu\text{L}^{-1}$, 可用于后续实验分析。



S. 标准品; M-1. Trans 2k plus; M-2. Trans 15k plus; 1. 印度血桐 DNA 提取结果; 2. 中平树 DNA 提取结果。
S. Sample; M-1. Trans 2k plus; M-2. Trans 15k plus; 1. DNA extraction results of *Macaranga indica*; 2. DNA extraction results of *M. denticulata*.

图 1 实验材料 DNA 提取结果

Fig. 1 DNA extraction results of experimental materials

2.2 测序数据产量统计

利用 Illumina 平台对两种材料进行高通量双端测序，经过对原始测序数据的严格筛选，得到高质量的产出数据(clean data)，以下统计是印度血桐和中平树 4 个文库的产出数据(表 1)。统计结果包括测序数据数量、数据产量、测序错误率、Q20 含量、Q30 含量、GC 含量等。过滤掉低质量的数据后，分别得到了 53.56 和 68.07 Gb 的印度血桐与中平树的数据用于后续分析。两种材料碱基质量正常，Q20 与 Q30 都大于 90%，测序错误率都为 0.04%，印度血桐的 GC 含量为 33.89%，中平树的 GC 含量为 33%，结果表明原始测序质量较好，能保证后续实验分析的正常进行。

文库 Library name	原始数据 Raw Base (bp)	过滤后碱基数 Clean base (bp)	错误率			
			Error rate(%)	Q20 比例 Q20 (%)	Q30 比例 Q30 (%)	GC含量(%) GC Content (%)
印度血桐 L2(350 bp)						
<i>M. indica</i> _L2 (350 bp)	22 883 137 800	22 859 641 500	0.04	96.78	91	33.83
印度血桐 L1 (500 bp)						
<i>M. indica</i> _L1 (500 bp)	30 725 104 200	30 708 347 700	0.04	97.02	91.53	33.95
合计						
Total	53 608 242 000	53 567 989 200	0.04	96.9	91.26	33.89
中平树 L2(350 bp)						
<i>M. denticulata</i> _L2 (350 bp)	26 659 857 000	26 658 456 600	0.04	97.23	91.91	33.02
中平树 L4(500 bp)	41 425 492 500	41 412 982 200	0.04	97.13	91.61	32.97

<i>M. denticulata</i> _L4 (500 bp)						
合计						
Total	68 085 349 500	68 071 438 800	0.04	97.18	91.76	33

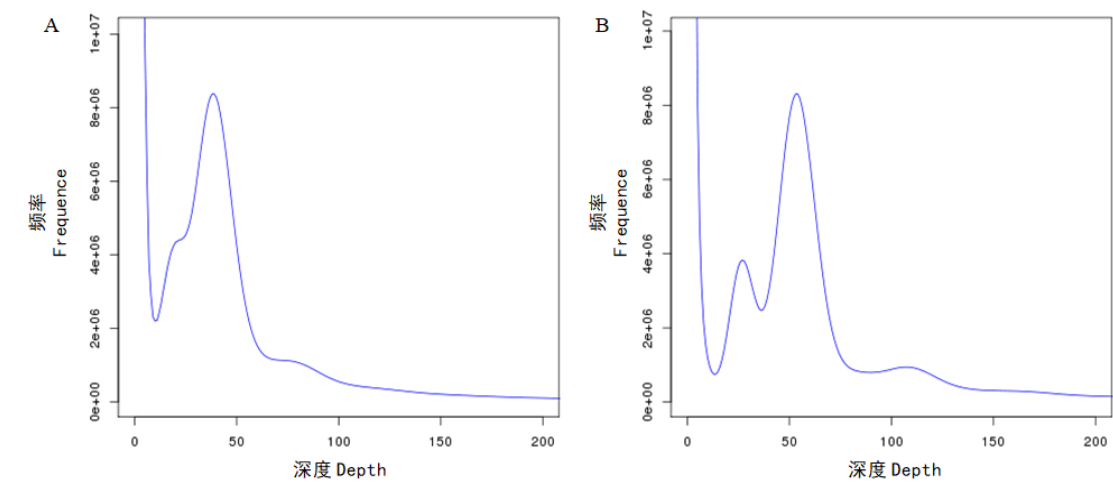
表 1 印度血桐与中平树的数据产出统计信息

Table 1 Data statistics of *Macaranga indica* and *M. denticulata*

注: **Q20** (%). 碱基识别的正确率为 99%; **Q30** (%). 碱基识别的正确率为 99.9%; *M. indica*_L2(350 bp), *M. indica*_L1(500 bp), *M. denticulata*_L2(350 bp), *M. denticulata*_L4(500 bp)表示插入片段大小。
Note: **Q20** (%). The accuracy of base recognition is 99%; **Q30** (%). The accuracy of base recognition is 99.9%; *M. indica*_L2(350 bp), *M. indica*_L1(500 bp), *M. denticulata*_L2(350 bp), *M. denticulata*_L4(500 bp) indicates the insert size.

2.3 K-mer 分析与基因组大小估测

采用基于 K-mer 的分析方法对印度血桐与中平树的 53.56 和 68.07 Gb 的数据进行分析, 得到印度血桐与中平树的 17-mer 分布情况(图 2), 横坐标表示 K-mer 出现的总次数, 纵坐标表示 K-mer 出现的频率 (唐其等, 2015), 两种材料主峰之前都出现杂合峰, 说明它们都有一定的杂合率。两种材料的 17-mer 曲线均有严重拖尾, 说明它们都有很高的重复序列比例。结合表 2 可知, 印度血桐与中平树的测序深度分别为 40X 和 54X, 印度血桐的 K-mer 总数为 39 725 851 195, 中平树的 K-mer 总数为 51 594 983 117, 根据公式基因组大小(G)的估计算法: $G=K\text{-mun}/K\text{-depth}$, 其中 K-depth 表示 K-mer 的期望测序深度, K-mun 表示 K-mer 的总数(刘尧, 2019, <http://blog.sciencenet.cn/u/lyao222lll>), 由此公式可得印度血桐的大小为 993.15 M, 修正后的基因组大小为 986.84 M; 中平树的基因组大小为 955.46 M, 修正后的基因组大小为 946.23 M; 印度血桐和中平树的杂合率分别为 0.75%和 0.65%, 印度血桐和中平树的重复率分别为 73.02%和 73.5%。由测序结果可知, 印度血桐与中平树都属于高重复微杂合基因组。



A. 印度血桐; B. 中平树
A. *Macaranga indica*; B. *M. denticulata*.

图 2 17-mer 分布曲线
Fig. 2 Distribution curve of 17-mer

表 2 17-mer 分析数据统计
Table 2 Data statistics of 17-mer analysis

样品 Sample	Kmer			基因组	修正后的	杂合率 Heterozygous rate(%)	重复率 Repeat rate(%)
	长度	深度	Kmer 总数	大小	基因组大小		
	Kmer	Depth	Kmer sum	Genome	Revised genome		
	length			size(M)	size(M)		
印度血桐							
<i>Macaranga indica</i>	17	40	39 725 851 195	993.15	986.84	0.75	73.02
中平树							
<i>M. denticulata</i>	17	54	51 594 983 117	955.46	946.23	0.65	71.5

2.4 样品污染评估—核苷酸比对结果

分别从印度血桐与中平树的 350 和 500 bp 的序列文库中随机抽取 10 000 条过滤后的单端高质量 reads (read1 和 read2 各 5 000 条), 与 NT 库 (NCBI 核苷酸数据库) 进行 BLAST 比对, 将比对结果比率最高的前六位物种展示出来(表 3), 比对结果显示, 在印度血桐与中平树的两个文库中, 比对结果比率最高的物种均为蓖麻, 在印度血桐的 350 和 500 bp 文库中, 蓖麻分别占比对上的 NT 库的 reads 总数的 1.61%和 1.9%, 而在中平树的 350 和 500 bp 文库中, 蓖麻分别占比对上的 NT 库的 reads 总数的 1.78%和 1.65%, 根据分类学结果可知, 蓖麻属于大戟科植物, 为印度血桐与中平树的近缘物种。此外, 比对结果的其他物种均为植物, 未发现动物或微生物等异常物种的高比率情况, 因此判断样品材料无污染, 可用于后续基因组调研图的正常分析。

表 3 原始数据文库与 NT 库比对表
Table 3 Blast result of raw date with NT database

库名 Library name	第一个 比对结果 The first comparison result	第二个 比对结果 The second comparison result	第三个 比对结果 The third comparison result	第四个 比对结果 The fourth comparsion result	第五个 比对结果 The fifth comparsion result	第六个 比对结果 The sixth comparsion result
	第一个 比对结果 The first comparison result	第二个 比对结果 The second comparison result	第三个 比对结果 The third comparison result	第四个 比对结果 The fourth comparsion result	第五个 比对结果 The fifth comparsion result	第六个 比对结果 The sixth comparsion result
	第一个 比对结果 The first comparison result	第二个 比对结果 The second comparison result	第三个 比对结果 The third comparison result	第四个 比对结果 The fourth comparsion result	第五个 比对结果 The fifth comparsion result	第六个 比对结果 The sixth comparsion result
印度血桐 L2(350 bp) <i>M. indica_L2</i> (350 bp)	蓖麻(1.61)	橡胶树(0.32)	墨水树(0.09)	葡萄(0.06)	麻疯树(0.06)	无油樟(0.05)
	<i>Ricinus</i>	<i>Hevea</i>	<i>Helianthus</i>	<i>Vitis vinifera</i>	<i>Jatropha</i>	<i>Amborella</i>
	<i>communis</i> (1.61)	<i>brasiliensis</i> (0.32)	<i>maximiliani</i> (0.09)	(0.06)	<i>curcas</i> (0.06)	<i>trichopoda</i> (0.05)
印度血桐 L1(500 bp) <i>M. indica_L1</i> (500 bp)	蓖麻(1.9)	橡胶树(0.18)	木薯(0.14)	墨水树(0.1)	麻疯树(0.08)	野茶树(0.06)
	<i>Ricinus</i>	<i>Hevea</i>	<i>Manihot</i>	<i>Helianthus</i>	<i>Jatropha</i>	<i>Camellia</i>
	<i>communis</i> (1.9)	<i>brasiliensis</i> (0.18)	<i>esculenta</i> (0.14)	<i>maximiliani</i> (0.1)	<i>curcas</i> (0.08)	<i>sinensis</i> (0.06)
中平树 L2(350 bp) <i>M. denticulata_L2</i> (350 bp)	蓖麻(1.78)	橡胶树(0.19)	麻疯树(0.07)	木薯(0.06)	亚麻(0.05)	葡萄(0.04)
	<i>Ricinus</i>	<i>Hevea</i>	<i>Jatropha curcas</i>	<i>Manihot</i>	<i>Linum</i>	<i>Vitis vinifera</i>
	<i>communis</i> (1.78)	<i>brasiliensis</i> (0.19)	(0.07)	<i>esculenta</i> (0.06)	<i>usitatissimum</i> (0.05)	(0.04)

中平树 L1(500 bp)	蓖麻(1.65)	橡胶树(0.2)	墨水树(0.18)	木薯(0.12)	麻疯树(0.11)	葡萄(0.08)
<i>M. denticulata</i> _L4(500 bp)	<i>Ricinus</i>	<i>Hevea</i>	<i>Helianthus</i>	<i>Manihot</i>	<i>Jatropha</i>	<i>Vitis vinifera</i>
	<i>communis</i> (1.65)	<i>brasiliensis</i> (0.2)	<i>maximiliani</i>	<i>esculenta</i>	<i>curcas</i>	(0.08)
			(0.18)	(0.12)	(0.11)	

2.5 印度血桐与中平树基因组 SSR 分析

利用微卫星识别工具 MISA 在印度血桐与中平树初步组装的所有序列中进行 SSR 查找，搜索结果如表 4 所示，在印度血桐中共搜索到 4 499 185 个 SSR，在所含有 SSR 的序列中，445 117 条序列包含 1 个以上 SSR，以复合形式存在的 SSR 数量有 492 341 个；在中平树中共搜索到 4 969 098 个 SSR，在所含有 SSR 的序列中，458 726 条序列包含 1 个以上 SSR，以复合形式存在的 SSR 序列有 507 887 条。分别对两种材料的不同类型的 SSR 核苷酸数量进行统计，在印度血桐的 SSR 核苷酸数量中，单、双、三、四、五和六核苷酸重复模体分别有 2 800 292 个、1 199 707 个、432 509 个、48 890 个、10 498 个、7 289 个，它们分别占印度血桐总重复模体的 62.24%、26.66%、9.61%、1.09%、0.23%、0.16%；在中平树的 SSR 核苷酸数量中，单、双、三、四、五和六核苷酸核苷酸重复模体分别有 3 037 613 个、1 321 752 个、522 801 个、63 973 个、11 254 个、11 705 个，它们分别占中平树总重复模体的 61.13%、26.60%、10.52%、1.29%、0.23%、0.24%。随后，进一步对印度血桐与中平树中每种 SSR 重复模体按照序列组成进行细分，分别展示出两种材料中重复类型的部分数目(表 5)。

表 4 印度血桐与中平树基因组中 SSR 的数目与类型

Table 4 Number and types of SSR of genome sequences in *Macaranga indica* and *M. denticulata*

搜索项目	印度血桐的数目	中平树的数目
Searching Item	Number of <i>M. indica</i>	Number of <i>M. denticulata</i>
检测的序列总数		
Total number of sequences examined	67 527 577	77 796 952
检测的序列总长度		
Total size of examined sequences (bp)	10 129 136 550	11 669 542 800
检测出的 SSR 总数		
Total number of identified SSRs	4 499 185	4 969 098
包含 SSR 的序列数		
Number of SSR containing sequences	3 995 677	4 449 684
包含一个以上 SSR 的序列数		
Number of sequences containing more than 1 SSR	445 117	458 726
以复合形式存在的 SSR 数目		
Number of SSRs present in compound formation	492 341	507 887

表 5 印度血桐与中平树中单、双、三、四、五、六核苷酸重复模体部分统计结果
Table 5 Results statistics of mononucleotide, dinonucleotide, tinonucleotide, tetranucleotide, pentanucleotide and hexanucleotide repeat motifs in *M. indica* and *M. denticulata*

印度血桐的重复类型	数目	中平树的重复类型	数目
Repeat types of <i>M. indica</i>	Number	Repeat types of <i>M. denticulata</i>	Number
单核苷酸重复模体		单核苷酸重复模体	

Mononucleotide		Mononucleotide	
repeat motifs		repeat motifs	
A/T	2 760 071	A/T	3 013 601
C/G	40 221	C/G	24 012
双核苷酸重复模体		双核苷酸重复模体	
Dinonucleotide		Dinonucleotide	
repeat motifs		repeat motifs	
AT/AT	980 978	AT/AT	1 084 511
AG/CT	109 488	AC/GT	119 721
AC/GT	108 893	AG/CT	117 219
CG/CG	348	CG/CG	301
三核苷酸重复模体		三核苷酸重复模体	
Tinonucleotide repeat motifs		Tinonucleotide repeat motifs	
AAT/ATT	254 523	AAT/ATT	297 791
AAG/CTT	89 777	AAG/CTT	105 809
ATC/ATG	33 781	ATC/ATG	47 731
AAC/GTT	19 142	AAC/GTT	25 237
四核苷酸重复模体		四核苷酸重复模体	
Tetranucleotide repeat motifs		Tetranucleotide repeat motifs	
AAAT/ATTT	29 231	AAAT/ATTT	36 830
AATT/AATT	8 775	AATT/AATT	12 234
AAAG/CTTT	4 557	AAAG/CTTT	5 221
ACAT/ATGT	3 179	ACAT/ATGT	4 167
五核苷酸重复模体		五核苷酸重复模体	
Pentanucleotide repeat motifs		Pentanucleotide repeat motifs	
AAAAG/CTTTT	4 164	AAAAT/ATTTT	4 094
AAAAT/ATTTT	2 937	AAAAG/CTTTT	2 298
AAATT/AATTT	482	AATAT/ATATT	1 259
AATAT/ATATT	472	AAATT/AATTT	584
六核苷酸重复模体		六核苷酸重复模体	
Hexanucleotide repeat motifs		Hexanucleotide repeat motifs	
AAAAAT/ATTTTT	1 698	AAAAAT/ATTTTT	1 916
AAAAAG/CTTTTT	1 114	AAAAAG/CTTTTT	1 497
AATGAT/ATCATT	329	AATAGT/ACTATT	1 093
ACATAT/ATATGT	328	AACAAT/ATTGTT	855

3 讨论

基因组大小是比较和进化基因组学的基础，基因组的杂合率和重复率是决定基因组组装质量的关键，评估测序数据的杂合率与重复率，有助于找到合适的组装策略（Bi et al., 2019）。对印度血桐与中平树进行 17- mer 分析后发现，印度血桐与中平树的预估基因组大小分别为 987 和 946 M，由测定结果来看，印度血桐与中平树的基因组大小相近，两种材料的基因组大小均比大戟科植物木薯的基因组 770 M（Simon et al., 2012）、蓖麻的基因组 350 M（Shusei et al., 2011）、麻疯树的基因组 410 M 大（Chan et al., 2010），比橡胶树的基因组 1.1 G（Zou & Yang, 2019）要稍小一些，这种现象可能是因为印度血桐与中平树属于大戟科血桐属植物，

而木薯、蓖麻、麻风树与橡胶树分别为大戟科其他属植物,结果显示属内差异较小,而属间差异较大,这可能是由于种系发育关系较远、染色体数目不同或者自交亲和现象的出现导致的(周佳煜等,2017)。基因组大小的测定对了解物种的生长发育、起源进化等问题具有重大意义。印度血桐与中平树基因组大小测定的完成,为研究大戟科血桐属植物基因组大小变化规律提供了一定的参考依据。

判断测序数据的杂合度有利于寻找合适的基因组拼接方法,根据杂合度大小可将基因组进一步分为微杂合基因组($0.5\% \leq \text{杂合率} < 0.8\%$)、高杂合基因组($\text{杂合率} \geq 0.8\%$)以及高重复基因组(重复序列比例 $\geq 50\%$)(王雪等,2018)。测序结果显示印度血桐与中平树的杂合率分别为0.75%与0.65%,重复率分别为73.03%和71.6%,两种植物的基因组都有一定的杂合率以及较高的重复率,印度血桐与中平树都属于雌雄异株的植物,这可能是导致二者含有较高杂合率的原因之一,因此,使用WGS策略对印度血桐与中平树的基因组分析有一定的风险和难度,建议后续的研究采用二代测序(Illumina)和三代测序(PacBio)技术相结合的策略,对印度血桐和中平树基因组进行测序和组装,此外,利用Hi-C技术达到染色体水平的组装,多种方法互补,以期获得两种材料的高质量全基因组图谱。

SSR分子标记具有易操作、多态性高、成本低、数量丰富等优点。本研究基于印度血桐与中平树基因组调查数据进行SSR分析发现,印度血桐中平均2251bp出现1个SSR,中平树中平均2348bp出现1个SSR,含丰富的重复类型,结果显示两种材料的SSR分子标记具有显著的碱基偏好性,它们的单核苷酸重复模体中A/T含量均高于C/G含量;两种材料中双核苷酸重复模体中含量最高均为AT/AT,含量最低为CG/CG,这可能是甲基化的C残基变为T,使得两种核苷酸重复的差异较大(周佳煜等,2017)。有研究认为基因组中低级重复单元较多则表示该物种进化水平较高,而高级重复单元比例高的物种其进化时间短或变异频率低(于福来等,2019)。因此,在基因组调查测序的基础上规模化开发与筛选SSR分子标记,为后续进一步运用SSR标记在物种遗传图谱的构建和遗传多样性分析以及QTL定位等方面的研究提供参考。

参考文献

- ALBACHI DC, LI HQ, ZHAO N, et al., 2007. Molecular systematics and phytochemistry of *Rehmannia* (Scrophulariaceae)[J]. *Biochem Syst Ecol*, 35(5): 293-300.
- Bi QX, Zhao Y, Cui YF, et al., 2019. Genome survey sequencing and genetic background characterization of yellow horn based on next-generation sequencing[J]. *Mol Biol Rep*, 46(4): 4303-4312
- CHAN AP, Crabtree J, Zhao Q, et al., 2010. Draft genome sequence of the oilseed species *Ricinus communis*[J]. *Nat Biotechnol*, 28(9):951-956.
- HUANG JY, LU WJ, TAN X, et al., 2015. Chemical Constituents from *Macaranga denticulata* Root[J]. *Chin Med Mat*, 38(8): 1671-1673. [黄建猷, 卢文杰, 谭晓, 等, 2015. 中平树根化学成分研究[J]. *中药材*, 38(8): 1671-1673.]
- LI GQ, SONG LX, JIN CQ, et al., 2019. Genome survey and SSR analysis of *Apocynum venetum*[J]. *Biosci Rep*, 39(6): BSR20190146. doi: <https://doi.org/10.1042/BSR20190146>
- LI Q, CHEN J, YU XZ, et al., 2019. A mini review of nervonic acid: Source, production, and biological functions[J]. *Food Chem*, 301: 125286. doi: <https://doi-org-443.webvpn.las.ac.cn/10.1016/j.foodchem.2019.125286>
- SHI JS, WANG ZJ, CHEN JH, 2012. Progress on whole genome sequencing in woody plants[J]. *Hereditas*, 34(2): 145-156. [施季森, 王占军, 陈金慧, 2012. 木本植物全基因组测序研究进展[J]. *遗传*, 34(2): 145-156.]

- SHUSEI S, HIDEKI H, SACHIKO I, et al., 2011. Sequence Analysis of the Genome of an Oil-Bearing Tree, *Jatropha curcas* L.[J]. DNA Res, 18(1): 65-76.
- SIMON P, PRADEEP R, BRIAN D, et al., 2012. The Cassava Genome: Current Progress, Future Directions[J]. Trop Plant Biol, 5(1): 88-94.
- TANG Q, MA XJ, MO CM, et al., 2015. Genome survey analysis in *Siraitia grosvenorii*[J]. Guihaia, 35(6): 786-791. [唐其, 马小军, 莫长明, 等, 2015. 罗汉果全基因组 Survey 分析[J]. 广西植物, 35(6): 786-791.]
- TIAN DY, WANG SA, WANG LH, et al., 2015. The biosynthesis and metabolic engineering of very long-chain monounsaturated fatty acid[J]. Biotechnol Bull, 31(12): 42-49. [田德雨, 王士安, 王立昊, 等, 2015. 超长链单不饱和脂肪酸的生物合成和代谢工程[J]. 生物技术通报, 31(12): 42-49.]
- WANG XY, FAN JS, WANG SQ, 2006. Development situation and outlook of nervonic acid plants in China[J]. Chin Oils Fats, 3: 69-71. [王性炎, 樊金栓, 王姝清, 2006. 中国含神经酸植物开发利用研究[J]. 中国油脂, 3: 69-71.]
- WANG X, ZHOU JY, SUN HG, et al., 2018. Genomic survey sequencing and estimation of genome size of *Ammopiptanthus mongolicus*[J]. J Plant Genet Resour, 19(1) : 143-149. [王雪, 周佳熠, 孙会改, 等, 2018. 新疆沙冬青基因组调查测序与基因组大小预测[J]. 植物遗传资源学报, 19(1) : 143-149.]
- WU YF, XIAO FM, XU HN, et al., 2014. Genome survey in *Cinnamomum camphora* L. presl[J]. J Plant Genet Resour, 15(1): 149-152. [伍艳芳, 肖复明, 徐海宁, 等, 2014. 樟树全基因组调查[J]. 植物遗传资源学报, 15 (1): 149-152.]
- YANG DS, PENG WB, YANG YP, et al., 2015, Cytotoxic prenylated flavonoids from *Macaranga indica*[J]. Fitoterapia, 103: 187-191.
- YU FL, HUANG M, ZHANG YB, et al., 2019, Genome survey and characteristic analysis of SSR in *Callicarpa nudiflora*[J]. Chin J Chin Mat Med, 44(18):3974-3978. [于福来, 黄梅, 张影波, 等, 2019. 裸花紫珠基因组调研及 SSR 特征分析[J]. 中国中药杂志, 44(18): 3974-3978.]
- ZHANG JX, TU MW, XUE S, et al., 2019. Genome survey and analysis of ssr molecular markers on traditional chinese medicine *Nauclea officinalis*[J]. Mol Plant Breed, 17(23): 7829-7833. [张璟璇, 涂梦薇, 薛桑, 等, 2019. 南药胆木的基因组调查及 SSR 分子标记分析[J]. 分子植物育种, 17(23): 7829-7833.]
- ZHOU JY, WANG X, GAO F, et al., 2017. Genome Survey and SSR Analysis of *Ammopiptanthus mongolicus*[J]. Genom Appl Biol, 36(10):4334-4338. [周佳熠, 王雪, 高飞, 等, 2017. 蒙古沙冬青基因组调查及 SSR 分析[J]. 基因组学与应用生物学, 36(10):4334-4338.
- ZHOU Y, ZI H, TONG J, et al., 2019. A Genome Survey of *Rhododendron simsii* and *Rhododendron indicum*[J]. Mol Plant Breed, 17(15): 4928-4935. [周媛, 资宏, 童俊, 等, 2019. 杜鹃花属映山红与皋月杜鹃的基因组调查[J]. 分子植物育种, 17(15): 4928-4935.]
- ZOU Z, YANG J, 2019. Genomic analysis of Dof transcription factors in *Hevea brasiliensis*, a rubber-producing tree[J]. Ind Crops Products, 134: 271-283.